

临床研究

骨关节炎软骨细胞对白细胞介素 18 的炎症应答

付兆宗¹, 江建明², 赵振东¹, 司沙沙³, 谢清华¹, 刘一涛¹¹中山大学附属江门医院(江门市中心医院)脊柱骨科, 广东 江门 529030; ²南方医科大学南方医院脊柱骨科, 广东 广州 510515; ³江门市中心医院生殖中心, 广东 江门 529030

摘要:目的 探讨 IL-18 对骨关节炎软骨细胞的作用。方法 取骨关节炎患者的膝关节软骨, 进行原代细胞培养。不同浓度的 IL-18 (0, 50, 150, 300 ng/mL) 刺激软骨细胞, RT-PCR 检测 TNF α 和 COX-2 mRNA 的表达, ELISA 检测 TNF α 、PGE₂ 的水平。应用 IL-1 受体阻断剂(IL-1Ra)+IL-18 干预软骨细胞, 检测软骨细胞 COX-2 的表达量和培养液中 PGE₂ 的水平。提取软骨细胞 RNA, 测定 IL-18 受体的表达。结果 对于 COX-2 和 TNF α , 300 ng/mL 组和 150 ng/mL 组 mRNA 的表达量显著高于对照组 ($P < 0.01$, $P < 0.05$)。50、300 ng/mL 组的 PGE₂ 水平显著高于对照组 ($P < 0.05$)。150、300 ng/mL 组的 TNF α 蛋白的浓度显著高于对照组 ($P < 0.05$), IL-1Ra 组的 PGE₂ 浓度高于对照组 ($P < 0.01$), 但是低于 IL-18 组 ($P < 0.01$)。软骨细胞能够检测到 IL-18 受体的表达。结论 IL-18 诱导软骨细胞产生炎症应答, 这种作用和 IL-1 β 有关但不完全依赖 IL-1 β 。

关键词: 骨关节炎; 白细胞介素 18; 软骨细胞; 退行性变

Inflammatory responses of human osteoarthritic chondrocytes induced by interleukin 18

FU Zhaozong¹, JIANG Jianming², ZHAO Zhendong¹, SI Shasha³, XIE Qinghua¹, LIU Yitao¹¹Department of Spine surgery, Affiliated Jiangmen Hospital of Sun Yat-sen University (Jiangmen Central Hospital), Jiangmen 529030, China; ²Department of Spine surgery, Nanfang Hospital of Southern Medical University, Guangzhou 510515, China; ³Reproductive center, Jiangmen Central Hospital, Jiangmen 529030, China

Abstract: Objective To explore the role of interleukin 18(IL-18) on the osteoarthritis (OA) patients' chondrocytes. **Methods** Knee cartilage samples were obtained from osteoarthritic patients, and the primary cells were cultured. After stimulated by IL-18 (0, 50, 150, 300 ng/mL), chondrocytes were collect to obtain the total RNA, and the supernatant were extracted, too. The mRNA's expression of COX-2 and TNF α were detected by quantitative RT-PCR and the level of PGE₂ and TNF α were investigated using ELISA. Besides IL-18, IL-1 receptor inhibitor (IL-1Ra) was also added into the medium of cell culture. COX-2 mRNA and PGE₂ were respectively determination. IL-18 receptors in chondrocytes were detected by RT-PCR. **Results** mRNA expression of COX-2 and TNF α in 150 and 300 ng/mL were both significantly higher than that in control group ($P < 0.05$). The level of in 50 and 300 ng/mL group were higher than that in control group ($P < 0.01$). While the concentration of TNF α in 150 and 300 ng/mL groups appeared more than that in control group significantly ($P < 0.01$). And the density of PGE₂ in IL-1Ra group was significantly more than that in control group, but less than that of IL-18 group. IL-18R can be detected on chondrocytes. **Conclusion** IL-18 induces inflammatory responses in osteoarthritic chondrocytes and that this effect was related with, although not entirely dependent on, IL-1 β .

Key words: osteoarthritis; interleukin 18; chondrocytes; degradation

骨性关节炎(OA)是全球最常见的关节疾病,给社会造成巨大的经济负担^[1-2]。我国 OA 的发病率约为 4%。60 岁以上者膝骨性关节炎发病率高达 49%,每年消耗的医疗费用超过 1500 亿元^[3]。因此,早期有效的治疗 OA 具有重大的社会效益和经济效益。目前 OA 的治疗方法多样,但是难以阻止病情进展,大量患者最终需接受关节置换手术。虽然手术能够一定程度提高生活质量,但是给患者带来较大的创伤和医疗负担,且存在血栓形成、关节内感染、假体松动等并发症^[4-5]。另外,随

着人口平均寿命的延长以及 OA 发病的年轻化,平均寿命为 10~15 年的关节假体需慎用 65 岁以下的患者。因此,如何针对 OA 的发病机制,寻找新的、有效的治疗方法一直是骨关节炎研究领域的热门课题。

OA 是多种炎症因子参与的关节退变疾病。软骨破坏是其主要病理特征,软骨碎片进入滑液,刺激滑膜引起滑膜炎,滑膜释放序贯性的炎性介质,进一步降解软骨,形成恶性循环^[6]。白细胞介素 1 β 诱导软骨细胞产生 NO、iNOS、PGE₂、MMPs 等损伤性的炎症因子^[7],导致软骨细胞的炎症反应和软骨基质的降解^[8-10]。IL-18 的结构与 IL-1 相似,被认为是 IL-1 超家族的一员^[11-12]。类风湿关节炎(RA)患者的膝关节滑液中可以检测到 IL-18 的表达,同时,RA 的关节滑膜中也可检测到

收稿日期:2016-03-03

基金项目:国家自然科学基金(30571890);广东省自然科学基金(2015A030310248)

作者简介:付兆宗,博士,主治医师,E-mail: doctor1999@126.com

通信作者:江建明,硕士,教授,E-mail: doctor2003@126.com

IL-18R的存在^[13-14]。前人的研究探讨了高浓度的IL-18对RA滑膜细胞和RA患者外周血单核细胞的影响,并发现对后者的促炎作用更加显著。但是,IL-18对OA软骨细胞的作用尚未有确切报道。IL-1能够诱导PGE₂的产生和COX-2的基因表达,并诱导iNOS的产生^[15]。但是,IL-1 β 和IL-18在这种作用中的关系尚不清楚。本研究探讨了IL-18在OA发病过程中的作用,分析了IL-18和IL-1在促炎作用中的关系,为OA的靶向治疗提供理论依据。

1 材料与方法

1.1 细胞培养与分组

实验所用的软骨细胞来自8名OA患者(5女,3男,平均年龄62.3岁)。取材过程获得患者的知情同意。关节软骨切成2~3 mm³的小块,DMEM(Gibco,USA)冲洗3次,10%的胰蛋白酶37℃下消化15 min。收集组织,加入0.2%的II型胶原酶(Gibco, USA)和0.1%的透明质酸酶(Sigma, USA)37℃摇床消化6 h。除去消化酶,DMEM清洗,无菌细胞筛过滤。用含10% FBS的DMEM悬浮细胞并进行原代培养。倒置相差显微镜观察软骨细胞的形态。检测软骨细胞的特异性胶原——II型胶原进行细胞鉴定。原代细胞接种至六孔板。原代培养的软骨细胞加入不同浓度的IL-18(0、50、150和300 ng/mL)孵育48 h,收集上清液,完成ELISA检查。提取细胞总RNA,进行后续PCR实验。

为进一步研究IL-18和IL-1的炎症诱导作用,取5例软骨细胞分为3组:对照组不加干预,IL-18组加入100 ng/mL的IL-18,IL-1Ra(IL-1受体抑制剂)组软骨细胞加入100 ng/mL的IL-18和IL-1Ra(R&D, USA),孵育24 h。收集细胞上清液,ELISA法检测PGE₂的水平。

1.2 细胞免疫化学检测

8 mm×8 mm载玻片泡酸并消毒后放入六孔板,接种软骨细胞,培养24 h,完成爬片。弃去培养基,PBS清洗3次,每次3 min。3%双氧水封闭内源性过氧化物酶,动物血清封闭非特异性蛋白。去除残留血清,加入II型胶原兔多克隆抗体(Boster, China),放入湿盒中4℃过夜。加入羊多克隆抗体(Boster, China),37℃孵育30 min。加入辣根过氧化物酶底物和DAB显色剂,倒置显微镜下观察并采集图像。

1.3 细胞因子检测

收集细胞培养上清液至1.5 mL离心管,3000 g/min离心后放-80℃低温冰箱保存,集中测定细胞因子浓度。应用酶联免疫吸附试验(ELISA),根据试剂盒厂家的说明书(PGE₂: Uscn Life, China; TNF α : Cusabio, China)绘制标准曲线,计算PGE₂和TNF α 的浓度。

1.4 RT-PCR检测

应用Trizol(Invitrogen, USA)裂解培养的软骨细

胞,提取总RNA。260 nm分光光度计(NanoDrop, Wilmington, USA)测定mRNA浓度。应用逆转录试剂盒(Toyobo, Japan)(Applied Biosystems, Foster City, CA)进行逆转录反应(Applied biosystems, Foster City, CA)。反应条件:30℃-10 min, 42℃-20 min, 95℃-5 min。应用ABI7500 PCR(Applied biosystems, Foster City, CA)系统完成定量PCR。双delta Ct法进行定量分析^[16]。取PCR产物进行凝胶电泳分析。取4例患者软骨细胞,参考Moller等的研究检测IL-18R α 和IL-18R β 的表达^[17]。

1.5 统计分析

应用SPSS13.0软件包进行统计分析。细胞因子的浓度及mRNA水平均表示为均数±标准差, $P<0.05$ 有统计学差异。不同浓度IL-18对软骨细胞的影响采用多样本比较的方差分析,若有统计学差异,则采用LSD法或者Dunnett's T₃(方差不齐时)进行多重比较。

2 结果

2.1 软骨细胞的形态观察和鉴定

接种后1 d软骨细胞呈圆形或椭圆形,透光度高(图1A),细胞稳定贴壁后成多边形,核大(图1B)。软骨细胞II型胶原染色阳性,细胞间分布有网状的II型胶原(图1C),对照组未见II型胶原阳性染色(图1D)。

2.2 RT-PCR和ELISA检测炎症因子的水平

随着IL-18浓度的升高,COX-2和TNF α 的mRNA表达量升高(图2)。无论是COX-2还是TNF α ,300 ng/mL组和150 ng/mL组的表达量显著高于对照组($P<0.01$, $P<0.05$)。检测不同浓度IL-18干预下,炎症蛋白的水平(表1)。50 ng/mL组、150 ng/mL组和300 ng/mL的PGE₂浓度分别为 410.03 ± 22.97 、 460.38 ± 112.86 、 518.28 ± 38.80 pg/mL,均高于对照组(340.47 ± 22.03 pg/mL, $P=0.003$, $P<0.001$ 和 $P<0.001$,图3A)。同样,与对照组相比,150 ng/mL组和300 ng/mL组的TNF α (52.45 ± 10.93 pg/mL和 103.80 ± 22.29 pg/mL)显著增高($P=0.002$, $P<0.001$,图3B)。IL-18诱导PGE₂和TNF α 的增高,呈浓度依赖效应。

2.3 IL-1Ra对软骨细胞炎症应答的影响

IL-18干预下,无论是否加入IL-1Ra,COX-2的表达上调(图4)。对照组、IL-18组和IL-1Ra组的PGE₂浓度分别为 140.26 ± 23.63 pg/mL、 399.27 ± 70.27 pg/mL和 268.16 ± 36.45 pg/mL, IL-18组和IL-1Ra组PGE₂的水平显著高于对照组($P<0.001$, $P=0.002$),而IL-18组的PGE₂浓度显著高于IL-1Ra对照组($P=0.003$,图4)。

2.4 RT-PCR检测IL-18R的表达

RT-PCR检查软骨细胞IL-18受体的表达(图5)。尽管表达强度不一致,软骨细胞中均可检测到IL-18R α 的表达,2例检测到IL-18R β 的表达。图中呈现的是4例

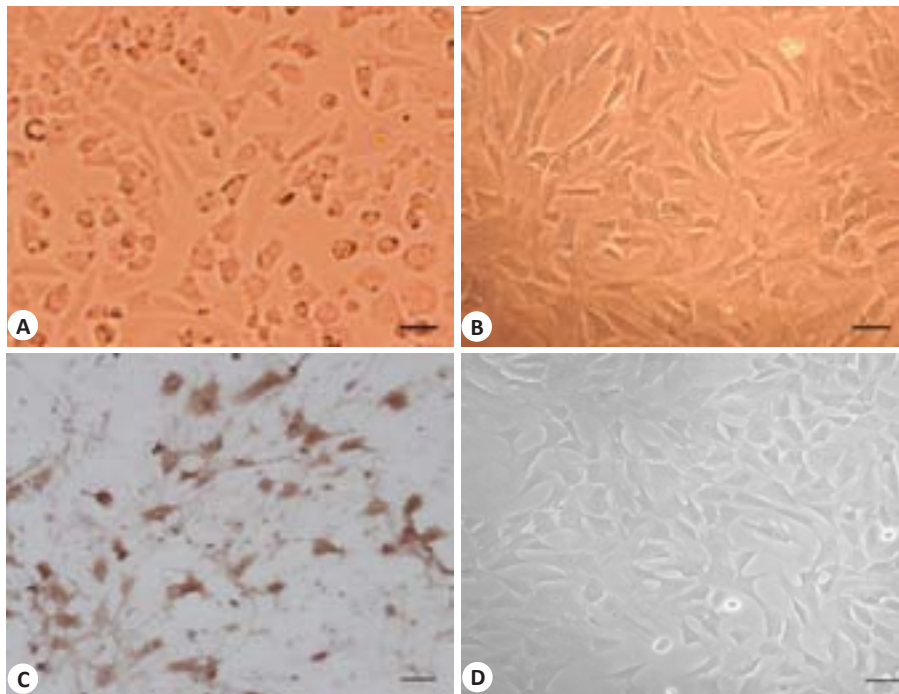


图 1 软骨细胞的形态图

A: 显示细胞接种 24 h, 部分细胞贴壁, 未贴壁细胞呈球形; B: 显示典型软骨细胞呈多边形; C: 软骨细胞鉴定, 棕色区域为 II 型胶原阳性染色, 分布于胞浆和细胞间; D: 对照组, 无阳性染色。标记线为 100 μm 。

表 1 IL-18 干预后 PGE₂、TNF- α 的水平 ($\bar{x} \pm s$, pg/mL)

Group	PGE ₂ (n=8)	TNF- α (n=8)
0 ng/mL	340.47 \pm 22.03	20.48 \pm 7.36
50 ng/mL	410.03 \pm 22.97*	25.32 \pm 9.55
150 ng/mL	460.38 \pm 112.86*	52.45 \pm 10.93*
300 ng/mL	518.28 \pm 38.80*	103.80 \pm 22.29*

* $P < 0.01$ vs PGE₂ in 0 ng/mL group; * $P < 0.01$ vs TNF- α in 0 ng/mL group.

患者软骨细胞(B)中 IL-18R α 和 IL-18 β mRNA 的表达。

3 讨论

IL-18 诱导 OA 软骨细胞的炎症应答。本研究发现 IL-18 能够诱导软骨细胞表达 TNF α 和 PGE₂, 刺激软骨细胞生成过量的 COX-2。COX-2 通过降解花生四烯酸产生 PGE₂。一旦 PGE₂ 过量, 将导致软骨代谢失衡, 诱发软骨降解^[18]。关节液中 TNF α 的水平和 OA 病情紧密相关, 是 OA 炎症进展的促进因素^[19-20]。另外, 本研究还发现 OA 软骨细胞均表达 IL-18R α , 且部分表达 IL-18R β 。IL-18 对细胞的刺激依赖于这两种受体, 然后通过 NF- κ B 途径完成信号转导, 引起细胞炎症应答^[22]。

IL-18 可能通过上调某些细胞因子的含量, 引起 OA 的症状。TNF- α 是 OA 病理过程中重要的细胞因子之一, 许多研究发现 OA 的功能评分与 TNF- α 的含量具有相关性^[19, 21]。另外, TNF- α 和 PGE₂ 一起加重 OA 患者膝关节的疼痛、肿胀等临床症状。Notoya 等^[23]也对 IL-18 和 TNF- α 做了部分研究, 并发现, 由于 IL-18 能够诱导 IL-1 β 和 TNF- α 的 mRNA 表达, 后两者在对软骨细

胞的作用类似于 IL-18。IL-18 对软骨细胞的影响可能依赖于 IL-1 或 TNF α , 或者受到二者的影响^[23]。

IL-18 和 IL-1 β 对软骨细胞的作用既有交叉又相互独立。IL-1 β 促进软骨细胞分泌炎症因子, 并分泌基质金属蛋白酶, 导致软骨基质的降解, 是 OA 发病过程中典型的促炎因子^[24-25]。IL-18 在功能上与 IL-1 β 有相似之处, 二者均促进软骨细胞分泌炎症因子。然而, IL-1Ra 阻断 IL-1 β 的作用后, IL-18 仍然能成功诱导软骨细胞的炎症应答, 但是 PGE₂ 和 TNF α 的水平有所降低。这表明 IL-18 发挥作用部分依赖于 IL-1 β , 但并不全依赖于 IL-1 β 。可能与二者的传导通路有关。IL-18 通过 MAPK-p38-AP1 途径和 NF- κ B 途径促进 COX-2 的产生^[26-27], 而 IL-1 β 可以通过 p38 APK/c-Fos/AP-1 和 JAK2/STAT1/2 途径诱导基质金属蛋白酶的产生。不同的信号通路导致了 IL-18 和 IL-1 β 的不同效应。

关节液主要来自滑膜细胞的分泌和软骨细胞的部分代谢产物, 是关节软骨自我更新所依赖的环节。OA 患者滑膜细胞产生更多的 IL-18, 并通过类似自分泌的方式影响滑膜细胞^[28], 总体结果增加了关节液中 IL-18 的浓度。我们的体外实验一定程度上模拟了软骨细胞在高浓度 IL-18 的干预下主要促炎因子的变化, 体外特定的干预有利于剔除活体代谢中的混杂因素。但是, 由于正常情况下关节液较少, 且为伦理学所限制, 目前尚无大样本的研究确定生理状态、病理状态下关节液中 IL-18 的浓度。我们体外实验中干预浓度的确定一方面参考了前人的研究^[29], 另一方面是基于预实验的结果。尽管如此, 仍能说明 IL-18 对软骨炎症代谢活动的影响。

IL-18 能够增加典型炎症因子的表达, 可能处于炎

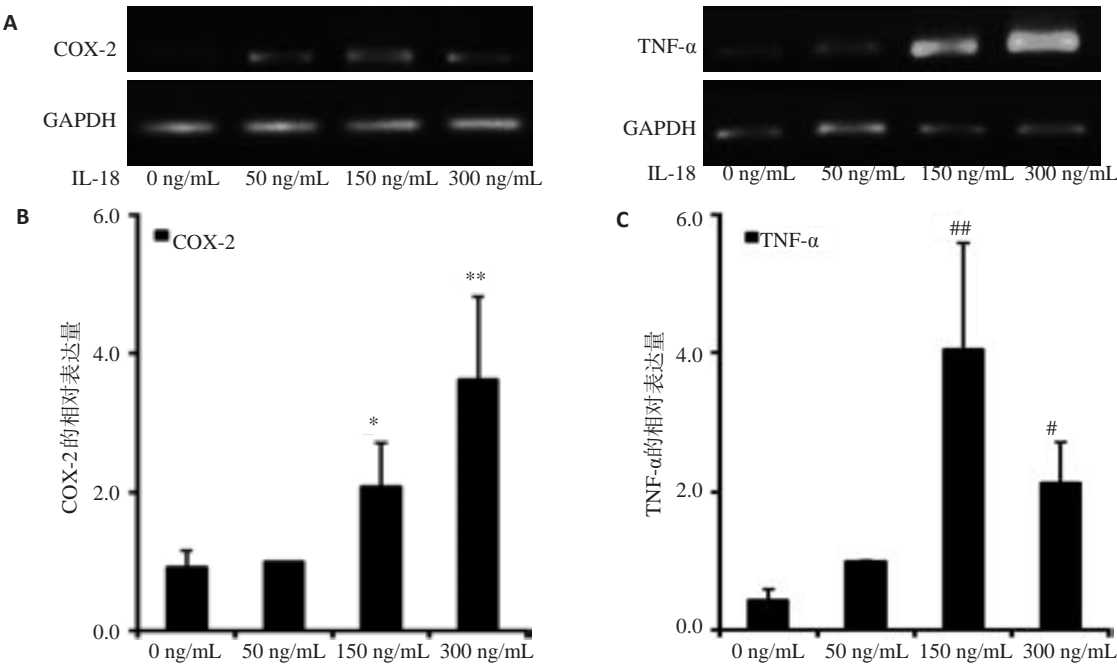


图2 IL-18干预后细胞因子的表达量
**, ##*P*<0.01 vs 对照组; *, #*P*<0.05 vs 对照组.

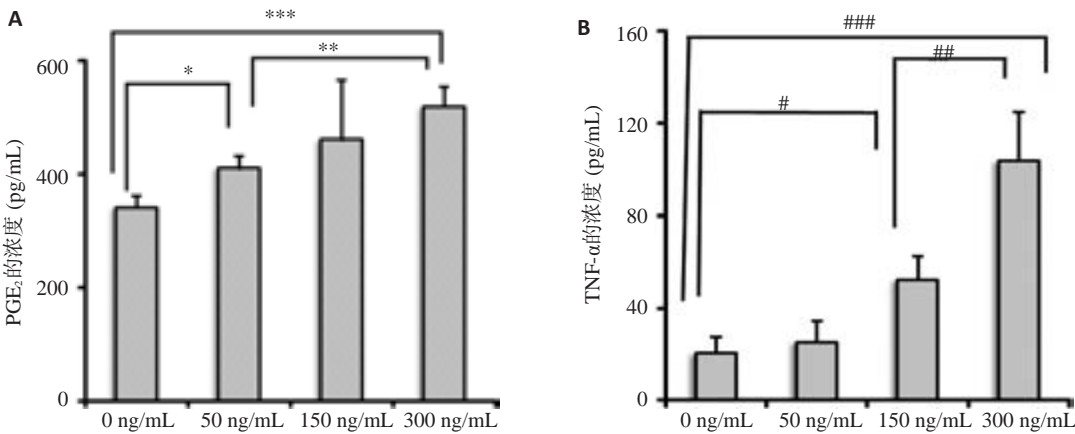


图3 IL-18干预下炎症蛋白的浓度
*, ***P*=0.001; ****P*=0.001; ##*P*<0.001; ###*P*<0.001.

性反应的上游。既往的研究表明,IL-1在OA的发病过程中起重要的作用,本实验发现IL-18对OA软骨细胞的影响可能与IL-1有关,但是其促炎作用相对独立于IL-1对软骨细胞的影响。因此,阻断或抑制IL-18的代谢过程可能对实现早期OA的靶向治疗具有重要的价值。

参考文献:

[1] Nho SJ, Kymes SM, Callaghan JJ, et al. The burden of hip osteoarthritis in the United States: epidemiologic and economic considerations[J]. J Am Acad Orthop Surg, 2013, 21(Suppl 1): S1-6.
[2] Bitton R. The economic burden of osteoarthritis[J]. Am J Manag Care, 2009, 15(8 Suppl): S230-5.
[3] 那 键,刘 艺,马克勇,等.老年性骨关节炎的分子生物学机制及治疗展望[J]. 中国老年学杂志, 2010, 30(20): 3035-7.

[4] Shao XT, Feng L, Gu LJ, et al. Expression of interleukin-18, IL-18BP, and IL-18R in serum, synovial fluid, and synovial tissue in patients with rheumatoid arthritis[J]. Clin Exp Med, 2009, 9(3): 215-21.
[5] Moser C. Response to: cytokine profile of autologous conditioned serum for treatment of osteoarthritis, *in vitro* effects on cartilage metabolism and intra-articular levels after injection[J]. Arthritis Res Ther, 2010, 12(6): 410-1.
[6] Smith MD, Triantafillou S, Parker A, et al. Synovial membrane inflammation and cytokine production in patients with early osteoarthritis[J]. J Rheumatol, 1997, 24(2): 365-71.
[7] Dinarello CA. The IL-1 family and inflammatory diseases[J]. Clin Exp Rheumatol, 2004, 20(5 Suppl 27): S1-13.
[8] Dai SM, Shan ZZ, Xu H, et al. Cellular targets of interleukin-18 in rheumatoid arthritis[J]. Ann Rheum Dis, 2007, 66(11): 1411-8.
[9] Mohtai M, Gupta MK, Donlon B, et al. Expression of interleukin-6

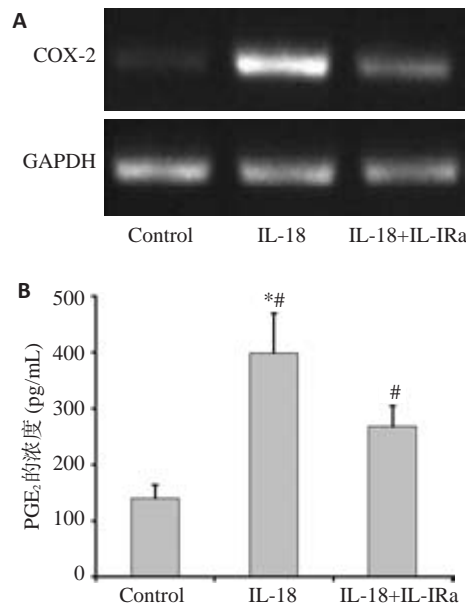


图4 IL-18和IL-18Ra干预下炎症因子的表达
[#] $P < 0.01$ vs 对照组; ^{*} $P < 0.01$ vs IL-18+IL-18Ra组.

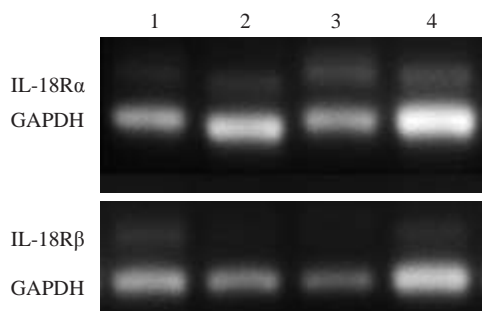


图5 RT-PCR检测IL-18受体的表达

in osteoarthritic chondrocytes and effects of fluid-induced shear on this expression in normal human chondrocytes *in vitro* [J]. J Orthop Res, 1996, 14(1): 67-73.

- [10] Björnsson GL, Thorsteinsson L, Gudmundsson KO, et al. Inflammatory cytokines in relation to adrenal response following total hip replacement[J]. Scand J Immunol, 2007, 65(1): 99-105.
- [11] Ghayur T, Banerjee S, Hugunin M, et al. Caspase-1 processes IFN- γ -inducing factor and regulates LPS-induced IFN- γ production[J]. Nature, 1997, 386(6625): 619-23.
- [12] Okamura H, Tsutsi H, Komatsu T, et al. Cloning of a new cytokine that induces IFN- γ production by T cells [J]. Nature, 1995, 378(6552): 88-91.
- [13] Pawlik A, Kurawski M, Drozdziak M, et al. Interleukin-18 gene (IL18) promoter polymorphisms in patients with rheumatoid arthritis[J]. Scand J Rheumatol, 2009, 38(3): 159-65.
- [14] Matsui K, Tsutsui H, Nakanishi K. Pathophysiological roles for IL-18 in inflammatory arthritis[J]. Expert Opin Ther Targets, 2003, 7(6): 701-24.
- [15] Olee T, Hashimoto S, Quach J, et al. IL-18 is produced by articular chondrocytes and induces proinflammatory and catabolic responses [J]. J Immunol, 1999, 162(2): 1096-100.
- [16] Livak KJ, Schmittgen TD. Analysis of relative gene expression data using real-time quantitative PCR and the 2(-Delta Delta C(T)) Method[J]. Methods, 2001, 25(4): 402-8.
- [17] Möller B. Interleukin-18 receptor expression in synovial fluid-derived fibroblast-like synoviocytes: comment on the article by Kawashima and Miossec[J]. Arthritis Rheum, 2004, 50(7): 2373-4.
- [18] Li X, Ellman M, Muddasani P, et al. Prostaglandin E2 and its cognate EP receptors control human adult articular cartilage homeostasis and are linked to the pathophysiology of osteoarthritis [J]. Arthritis Rheum, 2009, 60(2): 513-23.
- [19] Maganov VA, Davletshin RA, Davletshina GK, et al. Dynamics of tumour necrosis factor- α and clinical signs of osteoarthritis during the treatment with alflutop in combination with peloid applications under conditions of health resort [J]. Vopr kurortol fizioter lech Fiz Kult, 2011(2): 18-20.
- [20] Orita S, Koshi T, Mitsuka T, et al. Associations between proinflammatory cytokines in the synovial fluid and radiographic grading and pain-related scores in 47 consecutive patients with osteoarthritis of the knee[J]. BMC Musculoskelet Disord, 2011, 12(1): 144-7.
- [21] Chan BY, Fuller ES, Russell AK, et al. Increased chondrocyte sclerostin May protect against cartilage degradation in osteoarthritis [J]. Osteoar Cartilage, 2011, 19(7): 874-85.
- [22] Kawashima M, Miossec P. Heterogeneity of response of rheumatoid synovium cell subsets to interleukin-18 in relation to differential interleukin-18 receptor expression[J]. Arthritis Rheum, 2003, 48(3): 631-7.
- [23] Notoya K, Jovanovic DV, Reboul P, et al. The induction of cell death in human osteoarthritis chondrocytes by nitric oxide is related to the production of prostaglandin E-2 via the induction of cyclooxygenase-2[J]. J Immunol, 2000, 165(6): 3402-10.
- [24] Singh R, Ahmed S, Malemud CJ, et al. Epigallocatechin-3-gallate selectively inhibits interleukin-1 β -induced activation of mitogen activated protein kinase subgroup c-Jun N-terminal kinase in human osteoarthritis chondrocytes [J]. J Orthop Res, 2003, 21(1): 102-9.
- [25] Lim H, Kim HP. Matrix metalloproteinase-13 expression in IL-1 β -treated chondrocytes by activation of the p38 MAPK/c-Fos/AP-1 and JAK/STAT pathways[J]. Arch Pharm Res, 2011, 34(1): 109-17.
- [26] Lee JK, Kim SH, Lewis EC, et al. Differences in signaling pathways by IL-1 β and IL-18[J]. Proc Natl Acad Sci USA, 2004, 101(23): 8815-20.
- [27] Chandrasekar B, Mummidi S, Mahimainathan L, et al. Interleukin-18-induced human coronary artery smooth muscle cell migration is dependent on NF- κ B- and AP-1-mediated matrix metalloproteinase-9 expression and is inhibited by atorvastatin [J]. J Biol Chem, 2006, 281(22): 15099-109.
- [28] 王凤龙, 江建明, 肖军, 等. 白细胞介素-18在骨关节炎滑膜细胞中的表达及意义[J]. 中华风湿病学杂志, 2010, 14(4): 260-2.
- [29] Inoue H, Hiraoka K, Hoshino T, et al. High levels of serum IL-18 promote cartilage loss through suppression of aggrecan synthesis [J]. Bone, 2008, 42(6): 1102-10.